

Devoir inspiré d'un article de Pierre Boissel dans le *Bulletin de l'Union des Physiciens* numéro 741.
Nous nous intéressons ici à l'aspect théorique et aux simulations numériques.

0 - Introduction

Nous nous proposons d'étudier le mouvement d'une bille qui rebondit sur un plateau vibreur. Ce système est modélisé par une bille ponctuelle de masse m , assujétie à un mouvement unidimensionnel le long de l'axe vertical (noté z). Le mouvement de la bille n'influe pas sur celui du plateau. La bille n'est soumise qu'à deux forces : son poids et la force exercée par le vibreur lors des chocs. L'accélération de la pesanteur sera prise égale à $g = 10 \text{ m} \cdot \text{s}^{-2}$. Le mouvement vertical du vibreur est sinusoïdal de pulsation Ω et d'amplitude $A > 0$. La position du plateau est donc toujours donnée par $\mathcal{A}(t) = A \cos(\Omega t)$.

Ce système simple en apparence est le support de phénomènes dynamiques extrêmement riches. En particulier, nous pourrions y découvrir une transition vers le chaos par doublements successifs de période (voir figure 1a). Ainsi qu'une dynamique éventuellement gouvernée (selon les paramètres de contrôle) par des attracteurs étranges qui sont des objets physico-mathématiques toujours étudiés en recherche aujourd'hui (voir figure 1b).



L'expérience correspondante existe à l'Université de Jussieu et a été dupliquée au DER de physique de l'ENS Paris-Saclay. Une vidéo montrant les différentes dynamiques possibles de la bille est consultable ici : https://www.youtube.com/watch?v=4R_8_hQ2ihM

Une bille métallique d'une masse de 1g environ, maintenue latéralement par une languette souple, rebondit sur une céramique piezoélectrique attachée sur un vibreur. La cale piezo convertit les chocs en impulsions électriques ce qui permet de mesurer les instants et les intensités des chocs. Certaines paramétrisations du modèle présenté ci-dessous ont été choisies précisément pour coller aux données issues de cette l'expérience.

1 - Description

Dans ce devoir, nous supposons que le choc sur le vibreur est instantané, c'est à dire que la bille, lorsqu'elle rebondit, ne reste pas collée, même un court instant. Les différentes variables sont indicées par n , le numéro du choc. Au contact du vibreur, la bille arrivée au temps t_n avec une vitesse finale v_n^f , rebondit avec un coefficient de restitution noté μ ce qui lui donne une nouvelle vitesse initiale v_n^i telle que

$$v_n^i - \dot{\mathcal{A}}(t_n) = -\mu [v_n^f - \dot{\mathcal{A}}(t_n)]$$

où $\dot{\mathcal{A}}$ est la dérivée temporelle de l'amplitude, soit la vitesse du vibreur.

1. Justifier $0 \leq \mu \leq 1$. A quoi correspondent les cas limites ? Par la suite, on prendra $\mu=0.53$.

Reponse: On a $\mu \geq 0$ car la bille doit changer de direction, avec $\mu = 0$ correspondant au cas où toute l'énergie cinétique de la bille est absorbée lors du rebond, avec la bille qui s'arrête donc relativement au plateau.

Ensuite $\mu \leq 1$ par conservation de l'énergie, pour avoir dans le référentiel du plateau (donc du rebond) $E_c^f \leq E_c^i$ qui évite un gain d'énergie de la bille lors du rebond. Le cas $\mu = 1$ correspond donc à des

collisions élastique avec conservation de l'énergie cinétique.

1. Les paramètres de contrôle sont l'amplitude A et la pulsation Ω du vibreur. Proposer un paramètre sans dimension. Par la suite, Ω est fixé et seul A peut varier. Par la suite on prendra $\Omega/2\pi = 30$ Hz.

Reponse: Ce paramètre adimensionné f doit comparer les deux forces en jeu: la pesanteur et la force appliquée par le plateau. On fixe donc $f = \frac{A\Omega^2}{g}$.

1. Décrire l'espace des phases.

Reponse: L'espace des phases est à 2 dimensions, que l'on peut représenter par (v_n^i, z_n) ou (v_n^i, t_n) .

1. On suppose le vibreur immobile. La bille est lancée de l'altitude du plateau avec une vitesse v^i .
Donner le temps de montée, le temps de vol jusqu'au premier rebond et l'altitude

Reponse: On a pour une chute libre $v(t) = v^i - gt$ et $z(t) = v^i t - \frac{g}{2}t^2$. On trouve donc le temps de montée t_m pour $v(t_m) = 0$ qui nous donne $t_m = \frac{v^i}{g}$. On a alors l'altitude $h = z(t_m) = (v^i)^2 \frac{1}{2g}$. On peut finalement trouver le temps de vol t_v pour $z(t_v) = 0$ qui nous donne $t_v = 2t_m = \frac{2v^i}{g}$.

1. Le vibreur est toujours immobile. Existe-t-il un attracteur ? Si oui, quel est son bassin d'attraction ?

Reponse: Pour $\mu = 1$, on a conservation de la vitesse $v^i = v^f$ pour toute vitesse. Pour $0 \leq \mu < 1$ le seul point fixe sera $v^i = v^f = 0$, et son bassin d'attraction sera l'ensemble de l'espace de phases.

2 - Régimes périodiques

2.1 - Approche analytique

1. On suppose que le mouvement de la bille est de même période $T = 2\pi/\Omega$ que celui du vibreur.
Montrer sans calcul que $v_n^i = -v_n^f$, exprimer v^i en fonction de la période T et en déduire la vitesse du vibreur au moment du choc.

Reponse: Le plateau est donc à la même position à chaque choc, et la bille a donc la même altitude après le n^{iem} choc et avant le $(n+1)^{iem}$ choc. L'énergie potentielle de pesanteur est donc la même, et par conservation de l'énergie cinétique on a donc $v_n^i = -v_n^f$.

1. Les chocs ont lieu à des instants notés t_n . La variable pertinente est le déphasage φ_n entre l'instant T_{n-1} où le plateau passe à son point haut après le choc $n-1$. φ_n peut donc être supérieur à 2π : $\varphi_n = \Omega(t_n - T_{n-1})$. Expliquer succinctement ce qu'elle représente, sachant que ce choix de variable est lié à l'expérience qui utilise la fonction de synchronisation de l'oscilloscope afin de visualiser temporellement les chocs.

Reponse: φ_n représente le déphasage entre le mouvement du plateau et les chocs. Cette grandeur est très visuelle si on observe les rebonds avec un oscilloscope synchronisé sur les pics de la position du plateau. φ_n apparaît alors simplement comme le temps (plus précisément phase) de décalage entre "la gauche de l'écran" (le dernier signal de synchronisation) et le signal du rebond.

1. Montrer que pour obtenir un mouvement de la bille à la même pulsation que le forçage, l'amplitude du vibreur doit vérifier

$$A = -\frac{A_c}{\sin(\varphi_n)} \quad (1)$$

et donner l'expression de A_c et sa valeur numérique.

Reponse: Pour obtenir ce mouvement de la bille, on doit avoir $v_n^f = v_{n+1}^i$. Or $\mathcal{A}(t_n) = \Omega A \sin(\Omega t_n) = \Omega A \sin(\varphi_n)$. On a donc:

$$v_n^f + \Omega A \sin(\varphi_n) = -\mu \left[-v_n^f + \Omega A \sin(\varphi_n) \right]$$

$$v_n^f(1 - \mu) = -(1 + \mu)\Omega A \sin(\varphi_n)$$

$$A = -\frac{v^i}{\Omega} \frac{1 - \mu}{1 + \mu} \frac{1}{\sin(\varphi_n)} = -\frac{A_c}{\sin(\varphi_n)}$$

Avec $A_c = \frac{v^i}{\Omega} \frac{1 - \mu}{1 + \mu}$.

1. Tracer les solutions de l'expression ci-dessus, c'est à dire $\varphi_n/2\pi$ en fonction de A . Commenter. Donner la position du point d'amplitude minimale et sa valeur numérique.

Reponse: On fixe $A_c = 1$ pour simplifier notre graph, on a alors $\varphi_n = \arcsin(-\frac{1}{A})$ pour A prenant n'importe quel valeur réel:

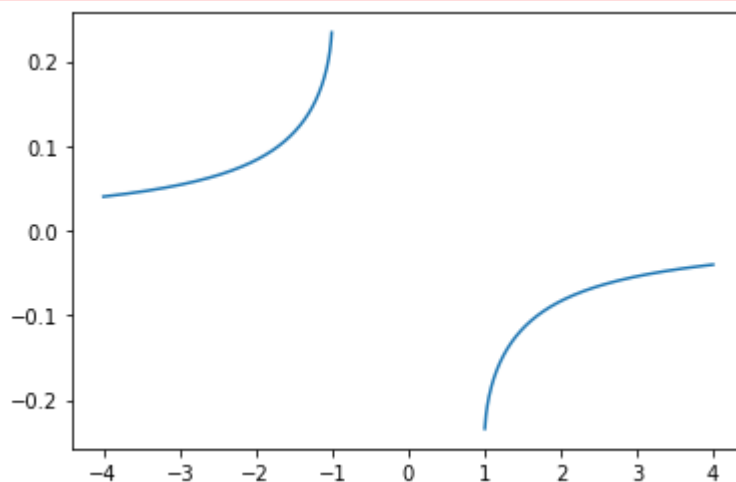
```
In [1]: import numpy as np
import matplotlib.pyplot as plt

#%matplotlib inline
#%matplotlib qt

A = np.linspace(-4, 4, 1000)
phi = np.arcsin(-1/A) / (2*np.pi)

plt.plot(A, phi)
plt.show()
```

/tmp/ipykernel_16766/4150059644.py:8: RuntimeWarning: invalid value encountered in arcsin
phi = np.arcsin(-1/A) / (2*np.pi)



On a une amplitude minimal $A = A_c$ pour $\varphi_n = \frac{\pi}{2}$, qui correspond au cas où la bille tape le plateau lorsqu'il a la plus grande vitesse.

1. Reprendre brièvement cette analyse pour le cas où la période du mouvement de la bille est un multiple de T .

Reponse: Si la periode du mouvement de la bille est un multiple de T on a toujours $v_n^i = -v_n^f$ car le plateau est à la meme position à chaque rebond.

Le reste de l'analyse reste inchangée.

1. De manière plus générale - c'est à dire même pour des régimes non périodiques - on propose la section de Poincaré de type stroboscopique qui consiste à échantillonner le mouvement à chaque choc. L'application de Poincaré notée F permet donc de passer de (z_n, v_n^i) à (z_{n+1}, v_{n+1}^i) . Par commodité, on préfère étudier la variable φ_n plutôt que z_n . Justifier que ce choix n'induit pas de perte d'information.

Reponse: On a pas de perte d'information car z_n est déterminable à partir de φ_n .

1. Comment se présente une trajectoire périodique dans cette section de Poincaré ?

Reponse: Une trajectoire périodique est un point fixe de l'application F . On peut avoir $F(\varphi, v^i) = (\varphi, v^i)$ si chaque rebond est le même que le précédent, mais on peut aussi avoir plus généralement une trajectoire périodique sur N rebond si $F^N(\varphi, v^i) = (\varphi, v^i)$

1. Écrire l'équation que vérifie $t_{n+1} - t_n$, intervalle de temps entre les rebonds n et $n + 1$. Cette équation n'est pas soluble analytiquement et il faut avoir recours aux outils numériques.

Reponse: On connaît l'altitude et la vitesse à t_n , on peut alors décrire la chute libre suivant t_n :

$$z(t) = A \cos(\varphi_n) + v_n^f(t - t_n) + \frac{g}{2}(t - t_n)^2$$

On a donc la condition $z(t_{n+1}) = \mathcal{A}(t_{n+1})$ qui s'écrit:

$$A \cos(\varphi_n) + v_n^f(t_{n+1} - t_n) + \frac{g}{2}(t_{n+1} - t_n)^2 = A \cos(\varphi_n + \Omega(t_{n+1} - t_n))$$

2.2 - Approche numérique

Nous nous intéressons au régime stationnaire de ce système quand il existe. Le mouvement de la bille peut être totalement déterminé en connaissant les instants t_n des rebonds. On conseille de procéder par dichotomie. Décrire brièvement la méthode employée.

1. Écrire une fonction qui trace et affiche la trajectoire du plateau ainsi que celle d'une bille en chute libre (ignorant le contact avec le plateau pour le moment) entre les instants t_A et t_B en fonction de t_A, t_B , de la vitesse v_A de la bille au temps t_A (en supposant que la bille et le plateau sont à la même altitude au temps t_A), d'un pas de temps dt de discrétisation de ces trajectoires, et de l'amplitude A de l'oscillation du plateau.

```
In [2]: import numpy as np
        from math import pi, cos, sin, acos, atan

        %matplotlib inline
        %matplotlib qt

        Freq=30 # [ Hz ]
        Omega= 2*pi* Freq
        T=1/Freq
        mu=0.53
```

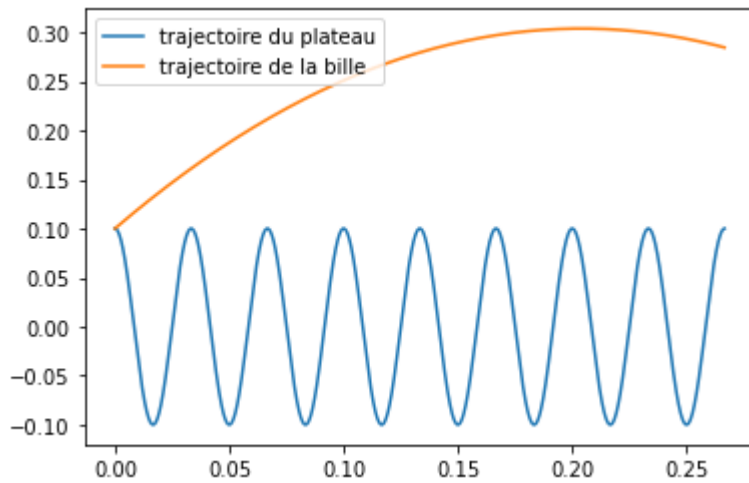
```
In [3]: g=9.81

        # question 1
        def traj_simple(ta, tb, dt, va, A):
            tmp = np.arange(ta, tb, dt)
            plateau=A*np.cos(Omega*tmp)
```

```
bille=A*np.cos(Omega*ta) + (tmp - ta)*(va - g/2*(tmp - ta))
```

```
plt.plot(tmp, plateau, label="trajectoire du plateau")
plt.plot(tmp, bille, label="trajectoire de la bille")
plt.legend()
```

```
traj_simple(0, 8*T, 1e-4, 2, 0.1)
plt.show()
```



1. Ecrire une fonction qui retourne, en fonction du temps de décollage t_n de la bille et de sa vitesse initiale v_n^i et de l'amplitude A de la vibration, le temps du prochain rebonds t_{n+1} et la vitesse de chute v_{n+1}^f . La fonction utilisera, comme variable ou comme constante globale, une tolérance acceptable dt_d qui fixera l'arrêt de la procédure de dichotomie.

Reponse: On ne peut pas simplement faire une recherche par dichotomie car il peut y avoir plusieurs racine très serré, et l'on ne veut trouver que la première.

On va plutôt utiliser l'algorithme suivant:

- On fait d'abord une recherche linéaire avec un paramètre relativement large dt_large , mais suffisamment petit devant la période pour assurer que plusieurs racine ne se trouvent pas dans un interval dt_large
- Si l'altitude de la bille dépasse l'altitude maximum du plateau, on avance à la fin de son temps de vol que l'on peut facilement calculer.
- Quand on trouve un interval dt_large avec un changement de signe, on fait une recherche par dichotomie avec une tolérance dtd

```
In [4]: # question 2
dtd = 1e-13
dt_large = 1e-4
max_dichot = 20

def step(tn, vin, A):
    hi = A*cos(Omega*tn)

    # equation à résoudre
    altitude_bille = lambda t : hi + (t - tn)*(vin - g/2*(t - tn))
    f = lambda t : altitude_bille(t) - A*cos(Omega*t)

    # calcul de tn+1=tf
    tf = tn + dt_large
    vol_passe = False
    while f(tf) > 0:
        # passer le vol au dessus du plateau
        if altitude_bille(tf) > A and not vol_passe:
```

```

        tf += 2*(vin - g*(tf - tn))/g
        vol_passe = True
        continue

    tf += dt_large

    # retour en arriere si besoin
    while f(tf - dt_large) < 0 and tf - dt_large > tn:
        tf -= dt_large

    # recherche par dichotomie plus precise
    if f(tf) < 0:
        a, b = tf - dt_large, tf
        for _ in range(max_dichot):
            # millieu
            millieu = (a + b)/2

            if f(a)*f(tf) < 0:
                a = millieu
            else:
                b = millieu

            if b - a < dtd:
                break
        tf = (a + b)/2

    #vitesse final
    vf = vin - (tf - tn)*g

    return tf, vf

```

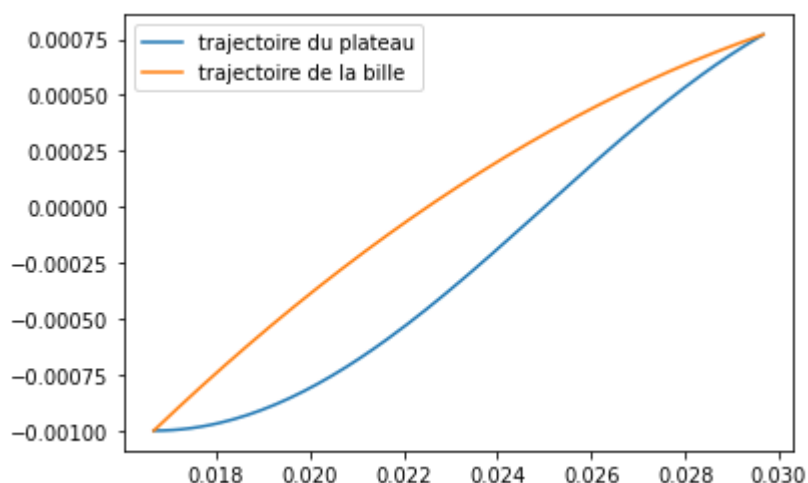
1. Vérifier graphiquement que la fonction fonctionne correctement notamment pour les paramètres suivants : $A = 1 \text{ mm}$, $t_0 = T/2$, $v_0^i = 0.2 \text{ m/s}$

In [5]:

```

A = 1e-3
t0 = T/2
vi0 = 0.2
t1, _ = step(t0, vi0, A)
traj_simple(t0, t1, 1e-4, vi0, A)
plt.show()

```



1. Il arrive que la bille progresse par rebonds de très faibles amplitudes, c'est à dire que la quantité $\frac{v_n^f - \dot{A}(t_n)}{\dot{A}(t_n)}$ soit petite. Dans ce cas, il est conseillé de considérer que la bille reste collée au vibreur pendant un certain temps. Ecrire la condition qui fixe le temps de redécollage de la bille.

In [6]:

```

lim_accrochage=0.04
def accrochage(uf, tn):

```

```

v_plateau = -Omega*A*sin(Omega*tn)
return abs((uf - v_plateau)/v_plateau) < lim_accrochage

```

```

def t_decollage(t, A):
    # on cherche la condition :
    # a_plateau = -Omega*Omega*A*cos(Omega*t) = -g

    t_max = np.ceil(t/T)*T

    if Omega*Omega*A < g:
        return t_max

    # solution de l'equation
    t0 = acos(g/(Omega*Omega*A))/Omega

    t_min = np.floor(t/T)*T + t0

    while t_min < t:
        t_min += T
    return t_min

```

1. Ecrire une fonction qui donne les instants $\{t_n\}$ et les vitesses $\{v_n^i\}$ et $\{v_n^f\}$ des N premiers rebonds en fonction de N , A , t_0 et de la vitesse initiale de la bille v_0^i . On supposera qu'à l'instant t_0 la bille a la même altitude que le plateau.

```

In [7]: def steps(N, A, t0, vi):
        tn = [t0]
        tdn = [t0] # temps decollage
        vin = [vi]
        vfn = []
        for i in range(N):
            t, vf = step(tdn[i], vin[i], A)

            vfn.append(vf)
            tn.append(t)

            if accrochage(vf, t):
                td = t_decollage(t, A)
                vi = -A*Omega*sin(Omega*td) + A/dt_large

                vin.append(vi)
                tdn.append(td)
            else:
                v_plateau = -Omega*A*sin(Omega*t)
                vi = v_plateau - mu*(vf - v_plateau)

                vin.append(vi)
                tdn.append(t)

        return vin, vfn, tn, tdn

```

Trajectoires

1. Ecrire une fonction qui trace les mouvements de la bille et du plateau pour les N premiers rebonds. Pour quelques valeurs de A , tracer l'altitude de la bille et du vibreur en fonction du temps sur suffisamment de périodes pour voir le régime stationnaire. On propose comme conditions initiales : la bille est posée sur le vibreur avec pour le moment une vitesse égale à deux fois la vitesse maximale du vibreur ($v_0^i = 2A\Omega$). Pour $A=0.4$ mm, vérifiez graphiquement l'équation $A = -A_c / \sin(\varphi_n)$.

```

In [8]: def obtenir_trajectoire(N, A, t0, vi, dt):
        vin, vfn, tn, tdn = steps(N, A, t0, vi)

        t = np.arange(t0, tdn[-1], dt)
        h_plateau = A*np.cos(Omega*t)
        h_bille = np.array([h_plateau[0]])

        def find_idx_t(T):
            i_min, i_max = 0, len(t) - 1
            while i_max - i_min > 1:
                i_middle = int((i_min + i_max)/2)
                if t[i_middle] <= T:
                    i_min = i_middle
                else:
                    i_max = i_middle
            return i_max

        i_ti = 0
        for i in range(N):
            i_tf = find_idx_t(tn[i + 1])
            i_td = find_idx_t(tdn[i + 1])

            h0 = A*np.cos(Omega*tdn[i])
            sub_t = t[i_ti + 1:i_tf + 1] - tdn[i]
            sub_h = h0 + sub_t*(vin[i] - sub_t*g/2)

            h_bille = np.append(h_bille, sub_h, 0)

            # durée d'accrochage au plateau
            h_bille = np.append(h_bille, h_plateau[i_tf + 1: i_td + 1], 0)

            i_ti = i_td

        return t, h_plateau, h_bille

def tracer_trajectoire(N, A, t0, vi, dt):
    t, h_plateau, h_bille = obtenir_trajectoire(N, A, t0, vi, dt)

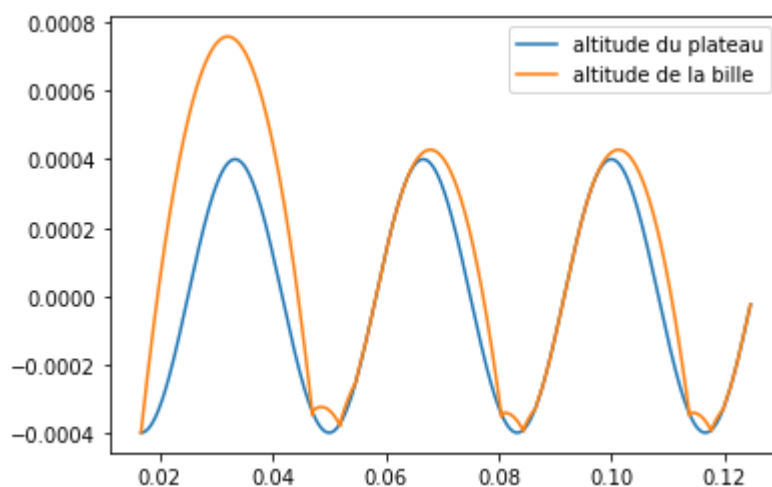
    plt.plot(t, h_plateau, label="altitude du plateau")
    plt.plot(t, h_bille, label="altitude de la bille")
    plt.legend()

```

```

In [9]: tracer_trajectoire(100, 4e-4, T/2, 2*4e-4*Omega, 1e-4)
plt.show()

```



```

In [10]: tracer_trajectoire(20, 5e-4, T/2, 3*4e-4*Omega, 1e-4)
plt.show()

```

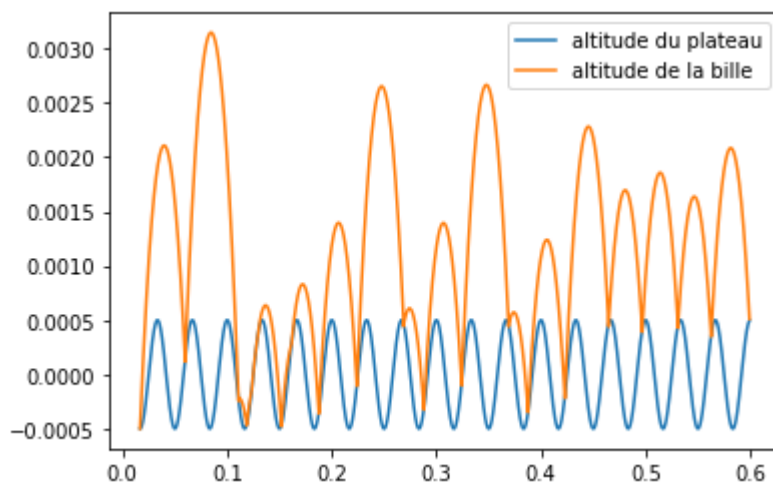



Diagramme de bifurcation

1. Pour résumer les différents comportements observés, tracer le diagramme de bifurcations φ_n en fonction de A . Sur chaque branche, indiquer le rapport T_0/T , où T_0 est la période de la bille et T celle du vibreur. On pourra ne garder que les rebonds pour lesquels $\varphi_n > 0$. Parfois, pour certaines conditions initiales v_0^i certaines solutions stationnaires ne sont pas "trouvées" par la bille. Afin d'obtenir un diagramme de bifurcation un peu complet, il peut être intéressant de lancer plusieurs fois la bille avec des valeurs de v_0^i différentes.

Reponse: On définit d'abord une fonction qui retourne la phase en fonction du temps.

On peut ensuite détecter la périodicité d'une solution, en cherchant avec une tolérance, deux points ayant la même phase φ_n et la même vitesse v_n^i . On s'assure que ces deux points ne sont pas plus proches qu'une période, et pas plus éloignés qu'un certain nombre de périodes (pour des raisons de stabilité).

On peut ensuite tracer le diagramme de bifurcation. Notez que la fonction "obtenir_bifurc" print une liste des "déphasage" (période en nombre de rebond) trouvés, pour pouvoir suivre son avancé.

```
In [11]: # fonction qui nous donne phi_n en fonction de
def phi_n(t):
    t_min = np.floor(t/T)*T
    return (t - t_min)*Omega - pi

# fonction qui nous donne le phi_n de stabilité obtenue par une suite de tn
phi_tol = pi*0.02 # tolerance entre phi_n et phi_{n+1} pour considérer que l'on a s
min_t_var = T*0.9
max_t_var = T*32.1
vi_relative_tol = 0.02
max_dephasage = 32
max_dephasage_par_période = 3
def phi_n_stabilite(vin, tn):
    v_target, phi_target = vin[-1], phi_n(tn[-1])
    for dephasage in range(1, min(len(vin) - 1, max_dephasage + 1)):
        if tn[-1] - tn[-1 - dephasage] < min_t_var:
            continue
        elif dephasage*T/(tn[-1] - tn[-1 - dephasage]) > max_dephasage_par_période:
            return False, 0

        if tn[-1] - tn[-1 - dephasage] > max_t_var:
            return False, 0

        v, phi = vin[-1 - dephasage], phi_n(tn[-1 - dephasage])
        if abs(v - v_target) < vi_relative_tol*abs(v + v_target)/2 and abs(phi - phi_target) < phi_tol:
            return True, dephasage

    return False, 0
```


Reponse: On a marqué les bifurcation facilement visible par des trait verticaux. On obtient les valeurs $A_1 = 0.4mm$, $A_2 = 0.44mm$ et $A_3 = 0.446mm$.

On note que la n^{iem} bifurcation correspond à 2^n branche avec une periode $T_0/T = 2^n$ (representé sur le diagram par la couleur des points).

En posant $\delta_q = \frac{A_{q+1}-A_q}{A_q-A_{q-1}}$ on obtient la valeurs $\delta_2 = 0.15 = \frac{3}{20}$.

En supposant $\delta_q = \delta = 0.15$ constant. On a alors $A_{q+1} - A_q = \delta^{q-1} (A_2 - A_1)$ Et donc:

$$A_q = A_1 + (A_2 - A_1) \sum_{i=0}^{q-1} \delta^i = A_1 + (A_2 - A_1) \frac{1 - \delta^q}{1 - \delta}$$

Et on a donc:

$$\lim_{q \rightarrow +\infty} A_q = A_1 + \frac{A_2 - A_1}{1 - \delta}$$

Avec les valeur experimentales trouvé on obtient $\lim_{q \rightarrow +\infty} A_q = 4.4705 \cdot 10^{-4}$, que l'on a utilisé comme limite du diagram de bifurcation.

2.3 Etude de la stabilité pour un mouvement de période T

L'étude conduite dans la sous-partie 2.1 prévoit des branches qui n'apparaissent pas lors des simulations numériques. On peut donc légitimement soupçonner qu'elles sont instables. Pour déterminer la stabilité d'une trajectoire périodique, on utilise sa matrice de monodromie définie par

$$\begin{pmatrix} \delta\varphi_{n+1} \\ \delta v_{n+1}^i \end{pmatrix} = M \begin{pmatrix} \delta\varphi_n \\ \delta v_n^i \end{pmatrix} \quad (2)$$

où $\delta\varphi_n = \varphi_n - \varphi_p$ et $\delta v_n^i = v_n^i - v_p^i$ (on a noté φ_p et v_p^i les valeurs de φ et v^i pour le mouvement périodique) sont des petits écarts à la trajectoire périodique. Pour la trajectoire de période T , la matrice de monodromie s'écrit

$$M = \begin{pmatrix} 1 & \frac{\Omega}{g} (1 + \mu) \\ \frac{g}{\Omega} \pi(1 - \mu) \tan^{-1}(\varphi_T) & \mu^2 + \pi(1 - \mu^2) \tan^{-1}(\varphi_T) \end{pmatrix} \quad (3)$$

1. *Bonus* Expliquer comment on obtient cette matrice.

Reponse: Soit $M = \begin{pmatrix} a & b \\ c & d \end{pmatrix}$ on cherche les valeur de a, b, c et d au premier ordre en $\delta\varphi_n$ et δv_n^i autour d'une trajectoire periodique. On les obtient en etudiant les variation sur un rebond:

- a vaut 1 car $\delta\varphi_n$ decale φ_n et donc directement φ_{n+1} .
- c On a deux termes: μ^2 viens simplement du gain de vitesse après deux rebond.
 $\pi(1 - \mu^2) \tan^{-1}(\varphi_T)$ correspond à l'impact sur le rebond de la variation de vitesse du plateau causé par la variation de temps de vol causé par δv_n^i .
- b est la variation de phase causé par la variation de vitesse apres rebond qui engendre une difference de temps de vol.
- d est la variation de vitesse causé par la difference de vitesse du plateau causé par le decalage de la phase.

1. Que vaut $\det(M)$? Que représente-t-il ?

Reponse: On trouve facilement $\det(M) = \mu^2 \leq 1$.

Or $\det(M)$ étant le produit des valeurs propre il represente la dilatation/contraction du flow. On a donc ici $0 \leq \det(M) \leq 1$, donc dans la limite $\mu = \det(M) = 1$ on a un flow conservatif, et sinon on a contraction du flow.

1. Montrer qu'une des valeurs propres de M est toujours supérieure à 1 si $\tan^{-1}(\varphi_T) > 0$. En déduire qu'une des branches est instable.

Reponse: Soit λ_1, λ_2 les deux valeur propres de M , et λ'_1, λ'_2 les valeur propres de $M - I$ on a $\lambda_1 = \lambda'_1 + 1$ $\det(M - I) = \lambda'_1 * \lambda'_2$. Or on trouve facilement que pour $\tan^{-1}(\varphi_T) > 0$:

$$\det(M - I) = -\pi (1 - \mu^2) \tan^{-1}(\varphi_T) < 0$$

On a donc $\lambda'_1 * \lambda'_2 < 0$ et on a donc une valeur propre de $M - I$ negative et une positive. On a alors la valeur propre positive de $M - I$ qui correspond à une valeur propre supérieure à 1 de M .

On a donc toujours une valeur propre de M supérieure à 1 si $\tan^{-1}(\varphi_T) > 0$. Cette branche est donc instable, car on a croissance (et divergence) de la perturbation autour de la trajectoire periodique.

1. Montrer que la valeur propre -1 est obtenue pour $\tan(\varphi_T) = -\frac{\pi}{2} \frac{1-\mu^2}{1+\mu^2}$. Calculer la valeur de A correspondante. En déduire les zones de stabilité et d'instabilité pour l'autre branche et déterminer le seuil d'apparition du doublement de période.

Reponse: Pour que la valeur propre -1 soit obtenue, il faut que $\det(M + I) = 0$. Par la meme formule que precedement on trouve facilement que:

$$0 = \det(M + I) = 2 + 2\mu^2 + \pi (1 - \mu^2) \tan^{-1}(\varphi_T)$$

Ce qui nous donne trivialement $\tan(\varphi_T) = -\frac{\pi}{2} \frac{1-\mu^2}{1+\mu^2}$.

On a alors doublement de periode pour la valeur propre $\lambda = -1$ obtenue pour

$$\varphi_T = \arctan\left(-\frac{\pi}{2} \frac{1-\mu^2}{1+\mu^2}\right).$$

Or on a stabilité de la branche pour une valeur propre $\lambda \in]-1, 1[$ qui correspond à

$$\varphi_T \in \left] \arctan\left(-\frac{\pi}{2} \frac{1-\mu^2}{1+\mu^2}\right), 0 \right[$$

1. Comparer avec les simulations numériques et commenter.

Reponse: On a donc avec $\mu = 0.53$ $\varphi_T = \arctan\left(-\frac{\pi}{2} \frac{1-\mu^2}{1+\mu^2}\right) = -0.72rad$.

3 - Chaos et attracteur étrange

1. Pour A=0.5 mm, par exemple, montrer la sensibilité aux conditions initiales en traçant l'écart entre les z_n en fonction du temps de deux trajectoires initialement très proches.

Reponse: On peut observer sur le plot que la distance entre les deux trajectoire grandit, prouvant l'instabilité de ce probleme.

```
In [14]: times, h_plateau, traj1 = obtenir_trajectoire(90, 5e-4, T/2, 1.5e-2, 1e-4)
_, _, traj2 = obtenir_trajectoire(90, 5e-4, T/2, 1.4e-2, 1e-4)

if len(traj1) < len(traj2):
    traj2 = traj2[:len(traj1)]
```

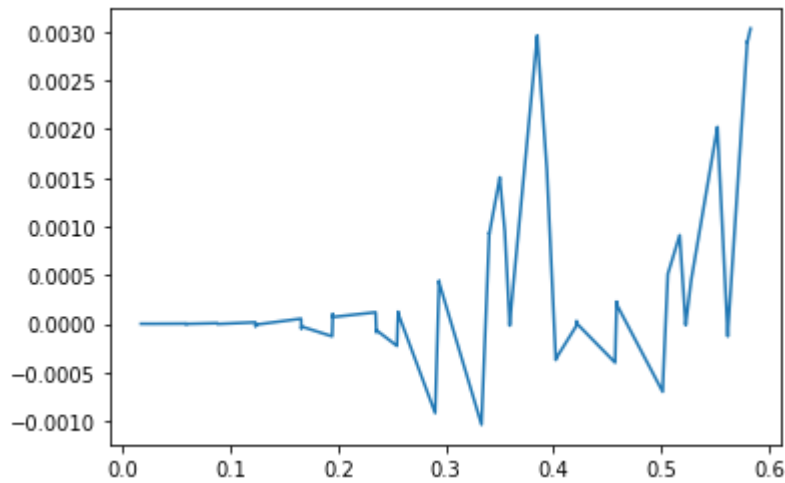
```

if len(traj1) > len(traj2):
    traj1 = traj1[:len(traj2)]
    times = times[:len(traj2)]

delta_traj = np.array(traj1) - np.array(traj2)

plt.plot(times, delta_traj)
plt.show()

```



1. Dans la zone chaotique, comment se présente une trajectoire typique (A fixée et suffisamment grande) sur le graphe φ_n en fonction de A ?

Reponse: Ayant A fixé, on aura un ensemble de point sur la même ligne verticale correspondant à A. Ce nuage de point sera "dense", mais pourra éviter des régions de l'intervalle possible de φ_n (car dans la zone chaotique la trajectoire effectue des sauts de φ_n).

1. Pour obtenir plus d'informations sur les trajectoires, on propose d'utiliser la représentation φ_n en fonction de $v_n^i - v_n^f$. La quantité $v_n^i - v_n^f$ est liée à l'intensité du choc qui peut être mesurée directement par l'amplitude de l'impulsion électrique fournie par la céramique piezo. Quel est l'aspect des trajectoires périodiques dans cette représentation ?

Reponse: Une trajectoire périodique dans cette représentation sera simplement un tracé fermé (qui revient sur lui-même), bien que la nature discrète de la trajectoire peut engendrer des "sauts" (formant une trajectoire qui a des "trous").

1. Tracer une trajectoire typique pour A=0.5 mm, par exemple.

```

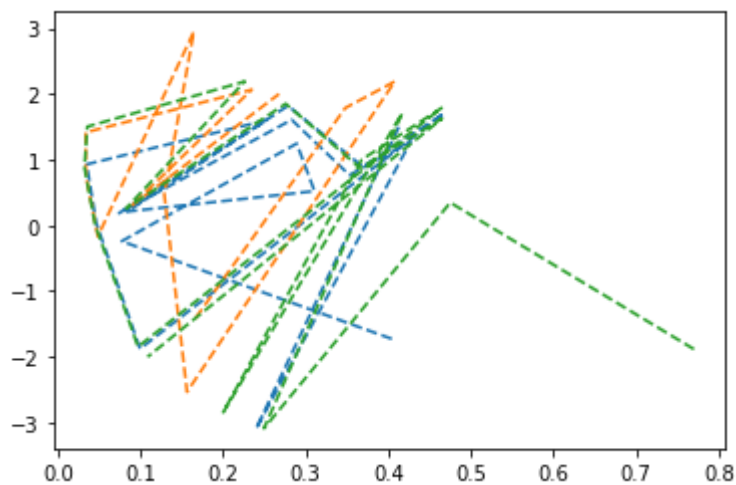
In [32]: def tracer_phase(A, t0, vi, N):
    vin, vfn, tn, tdn = steps(N, A, t0, vi)
    vfn = np.array(vfn)
    vin = np.array(vin[:-1])

    deltaV = vin - vfn
    phase = [phi_n(t) for t in tdn[:-1]]

    plt.plot(deltaV, phase, "--")

A = 5e-4
vi = 2*A*Omega
tracer_phase(A, T/4*0.9, vi, 18)
tracer_phase(A, T/4*1.1, vi/2, 12)
tracer_phase(A, T/4*0.8, vi*2, 17)
plt.show()

```



5- Pourquoi cette structure porte-t-elle le nom d'attracteur ?

Reponse: On peut voir que des trajectoire complètement distinctes se rejoignent en tendant vers cette "attracteur" (d'où ce nom).

6- Montrer numériquement que cette structure présente un aspect fractal. Cet aspect lui vaut le nom d'attracteur étrange.

Reponse:

In []:

7- Proposer un moyen de calculer numériquement la dimension fractale de cet attracteur étrange.

Reponse: On peut chercher la dimension de boîte de cette structure.

Pour cela on pourrait d'abord écrire une fonction qui détecte si une trajectoire tend vers l'attracteur, en regardant si les points au bout de la trajectoire se rapprochent d'une section d'une trajectoire que l'on a sélectionnée car elle appartient à l'attracteur.

On peut ensuite quadriller l'espace des phases avec des points de départ écartés d'un paramètre ϵ , et compter le nombre de points $n(\epsilon)$ qui tendent vers l'attracteur.

On peut ensuite itérativement raffiner le quadrillage, et mesurer la valeur limite du ratio $\frac{\ln(n(\epsilon))}{-\ln(\epsilon)}$ qui sera la dimension de ce fractal.

8- *Bonus* Donner sa valeur.

9- Commenter le rôle de μ .

Reponse: μ est un paramètre de contrôle continu, qui est un paramètre d'atténuation temporelle de $v_n^i - v_n^f$.

On pourrait s'attendre à ce que le "rayon" de l'attracteur dans la dimension $v_n^i - v_n^f$ réduise avec μ .

In []: